

TD EMS

SF1

Propagation

$$1) \textcircled{1} + \vec{u}_y \quad \textcircled{2} + \vec{u}_y \quad \textcircled{3} + \vec{u}_n \quad \textcircled{4} + \vec{u}_y$$

Polarisation rectiligne :

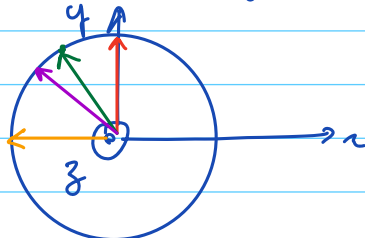
- $\textcircled{1}$ oui selon $\vec{u}_n - 2\vec{u}_y$
- $\textcircled{2}$ oui selon $\vec{u}_n - 2\vec{u}_y$
- $\textcircled{3}$ oui selon $\vec{u}_n + \vec{u}_y$
- $\textcircled{4}$ non

$$2) \vec{E}(n,+) = -E_0 \sin(wt - k_z) (\vec{u}_n - 2\vec{u}_y) \\ (= E_0 \cos(wt - k_z + \frac{\pi}{2}) (\vec{u}_n - 2\vec{u}_y))$$

$$\vec{B} = \frac{\vec{u}_y \wedge \vec{E}}{c} = \frac{\epsilon_0}{c} \sin(wt - k_z) (\vec{u}_y + 2\vec{u}_n)$$

$$3) \vec{E}(n,+) = \operatorname{Re} \left(E_0 \left(\cos(wt - k_z + \frac{\pi}{2}) + i \sin(wt - k_z + \frac{\pi}{2}) \right) (\vec{u}_n - i\vec{u}_y) \right) \\ = E_0 \cos(wt - k_z + \frac{\pi}{2}) \vec{u}_n + E_0 \sin(wt - k_z + \frac{\pi}{2}) \vec{u}_y \\ = -E_0 \sin(wt - k_z) \vec{u}_n + E_0 \cos(wt - k_z) \vec{u}_y$$

On a donc en $y=0$, à $t=0$, $t=\frac{\pi}{6\omega}$, $t=\frac{\pi}{4\omega}$, $t=\frac{\pi}{2\omega}$



Le champ \vec{E} tourne donc dans le sens trig.

4) Tous les points ayant la même $n+y$ appartiennent à une surface d'onde.

$n+y = c$ est l'équation d'un plan. D'onde est bien plane.

$$\vec{k} = q\vec{u} \text{ avec } \vec{u} \text{ le vecteur normal au plan } n+y = \text{constante}$$

$$\text{On a donc } \vec{u} = \begin{pmatrix} 1 \\ 1 \\ 0 \end{pmatrix} = \vec{u}_x + \vec{u}_y$$

La polarisation est rectiligne selon $\vec{u}_x - \vec{u}_y$, ce qui n'est pas compatible avec la direction de propagation, car cette onde ne respecte pas la transversalité du champ \vec{E} .

Exercice 2 - Onde sphérique

$$1) \vec{k} = k \vec{u}_r$$

$$2) \vec{B} = \frac{\vec{u}_r \wedge \vec{E}}{c} = \frac{E_0(n)}{c} \cos(\omega t - kr) \vec{u}_\varphi.$$

$$3) \vec{T} = \frac{\vec{E} \wedge \vec{B}}{\mu_0} = \frac{E_0^2(n)}{\mu_0 c} \cos^2(\omega t - kr) \vec{u}_r.$$

$$\langle \vec{T} \rangle = \frac{E_0^2(n)}{2 c \mu_0} \vec{u}_r$$

$$4) \mathcal{P} = \oint_{\text{sphère}} \langle \vec{T} \rangle \cdot d\vec{S} = 4\pi r^2 \frac{E_0^2(n)}{2 c \mu_0}$$

d'onde se propage sans être atténuée ou déformée, elle ne fait que s'étaler dans l'espace. Ainsi, quelle que soit la surface normale en tout point à la direction de propagation, la puissance la traverse sur la même.

$$\text{On a donc } 4\pi r^2 \frac{E_0^2(n)}{2 c \mu_0} = \mathcal{P}$$

$$\Rightarrow E_0^2(n) = \frac{c \mathcal{P} \mu_0}{2\pi r^2} \quad \boxed{E_0(n) = \frac{1}{r} \sqrt{\frac{c \mathcal{P} \mu_0}{2\pi}}}$$

Exercice 3 - Remise de la concentration en CO₂ atmosphérique

1) $\vec{E} = E_0 \cos(\omega t - k_z z) \vec{u}_x$ et $\vec{B} = \frac{E_0}{c} \cos(\omega t - k_z z) \vec{u}_y$ (par la relation de structure)

On a alors $\vec{\Pi} = \frac{\vec{E} \cdot \vec{B}}{\mu_0} = \frac{E_0^2}{c \mu_0} \cos^2(\omega t - k_z z) \vec{u}_z$.

2) On a $I = \left\langle \frac{1}{S} \parallel \vec{\Pi} \cdot d\vec{s} \right\rangle = \left\langle \frac{1}{S} \frac{E_0^2}{c \mu_0} \cos^2(\omega t - k_z z) S \right\rangle$

$$I = \frac{E_0^2}{2c \mu_0}$$

3) Considérons une tranche entre z et $z + dz$. On fait un bilan de puissance en moyenne temporelle

$$\begin{array}{c|c} \vec{\Pi}(z) & \vec{\Pi}(z+dz) \\ \hline z & z+dz \end{array}$$

$$P_{\text{ray}}(z+dz) = P_{\text{ray}}(z) - P_{\text{abs}}$$

on a $P_{\text{ray}}(z+dz) = \left\langle \parallel \vec{\Pi}(z+dz) \cdot d\vec{s} \right\rangle = I(z+dz) S$

de même $P_{\text{ray}}(z) = I(z) S$

or $P_{\text{abs}} = \sigma I \times \underbrace{m dz S}_{\text{nombre de CO}_2 \text{ dans la tranche}}$

Donc $I(z+dz)S - I(z)S + \sigma I m dz S = 0$

or $\frac{dI}{dz} dz S + \sigma I m dz S = 0$

$$\frac{dI}{dz} + \sigma I m = 0$$

4) I est solution de $\frac{dI}{dz} + \sigma n I = 0$

re $I = I_0 e^{-\sigma n z}$

Donc $A = \ln \left(\frac{I_0 e^0}{I_0 e^{-\sigma n z}} \right) = \ln(e^{\sigma n z}) = \underline{\sigma n z}$

5) La qté de matière par unité de volume dépend fortement de la pression et de la température (loi des gaz parfaits). Il faut donc parfaitement les maîtriser pour une mesure fiable.

d'italonnage, plutôt qu'une mesure directe, permet de diminuer les erreurs systématisques.

6) On constate une augmentation globale de la fraction molaire de CO_2 , signe de l'augmentation des émissions humaines.
des variations saisonnières peuvent s'expliquer par l'influence de la végétation (qui capte le CO_2) sensible aux saisons.